
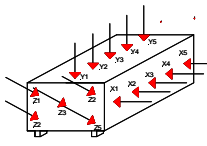
		WIAP[®]		MEMV[®]						
Metall entspannen mit Vibration										
Kunde		*****		Stückart/Name		Teil 1-3 Lang				
Bestell Nr.				Zeichn. Nr.						
Auftrags Nummer				Material						
Datum		21.08.2019		Gewicht		Anzahl Messungen				
Achse	Amp		Beschleunigung		RPM		EX	Energie/ N	Erreger	V
	Vorher	Nachher	Vorher	Nachher	Vorher	Nachher	%		Energie	Typ
D 1	1.47	1.43	0.81	0.75	4000	4020	50	15500	5192.50	V20
D 2	1.5	1.55	1.76	1.8	3760	3780	50	15500	4882.50	V20
D 3	1.65	1.52	2	2.2	4760	4740	50	15500	6122.50	V20
D 4	1.7	1.65	2.1	2.3	3840	3860	50	15500	4985.83	V20
D 5	1.39	1.33	0.57	0.8	4240	4280	50	15500	5528.33	V20

Achse	O=Oben U=Unten	V=Vorher N= Nachher	V05 6000 RPM = 3076 N					D1= Y zu Z							
			V20 6000 RPM = 15052 N					D2= Y zu X/Z							
			V50 6000 RPM = 30104N					D3= Y zu X							
								D4= Y zu Z/X							
								D5= Z zu X							
			D1	D2	D3	D4	D5	Foto							
			Grad	Grad	Grad	Grad	Grad								
			m/s 2												
X1	O	V	3.6	4.3	3.5	3.7	4.5	Achse	L= Links R= Rechts	V=Vorher N= Nachher	V100 6000 RPM 75260 N				
X1	O	N	3.6	5.4	4.1	6.6	3.8				V 200 6000 RPM 150520 N				
X1	U	V	0	0	0	0	0				Anzahl Messungen Y Achse				
X1	U	N	0	0	0	0	0				D1	D2	D3	D4	D5
			Grad	Grad	Grad	Grad	Grad				m/s 2				
X2	O	V	4.4	4.3	7.1	4.7	10.6	Y1	L	V	11.2	9.2	29.4	14.3	12.5
X2	O	N	3.2	3.7	7.3	5.7	12.6	Y1	L	N	11.3	9.4	30.6	14.6	11.6
X2	U	V	0	0	0	0	0	Y1	R	V	0	0	0	0	0
X2	U	N	0	0	0	0	0	Y1	R	N	0	0	0	0	0
X3	O	V	6	4.5	3.2	4.6	6.7	Y2	L	V	9.1	6.2	9.4	9.6	7.9
X3	O	N	7.9	3.4	5.5	5.1	7.1	Y2	L	N	9.4	7.6	10.1	8.7	9.1
X3	U	V	0	0	0	0	0	Y2	R	V	0	0	0	0	0
X3	U	N	0	0	0	0	0	Y2	R	N	0	0	0	0	0
X4	O	V	4.5	3.4	3.1	2.6	12.3	Y3	L	V	11.5	16.8	16.7	7.3	14.1
X4	O	N	6.6	4.1	4.4	5.1	14.5	Y3	L	N	11.7	15.4	19.4	8.3	14.3
X5	U	V	0	0	0	0	0	Y3	R	V	0	0	0	0	0
X5	U	N	0	0	0	0	0	Y3	R	N	0	0	0	0	0
X4	O	V	4.5	3.4	3.1	2.6	12.3	Y4	L	V	29	31	24	24.2	30.3
X4	O	N	6.6	4.1	4.4	5.1	14.5	Y4	L	N	30.8	30	25.1	23.4	33.6
X5	U	V	0	0	0	0	0	Y5	R	V	0	0	0	0	0
X5	U	N	0	0	0	0	0	Y5	R	N	0	0	0	0	0

Z1	LO	V	12.5	9.9	4.3	12.2	9	Z5	RO	V	12.6	7.1	3.5	11.3	9.3
Z1	LO	N	12.8	9.6	3.7	15.2	9.3	Z5	RO	N	12.6	5.7	2	8.8	11.3
Z2	LU	V	0	0	0	0	0	Z6	RU	V	0	0	0	0	0
Z2	LU	N	0	0	0	0	0	Z6	RU	N	0	0	0	0	0
Z3	LU	V	0	0	0	0	0	Z7	RU	V	0	0	0	0	0
Z3	LU	N	0	0	0	0	0	Z7	RU	N	0	0	0	0	0
Z4	LU	V	0	0	0	0	0	Z8	LU	V	0	0	0	0	0
Z4	LU	N	0	0	0	0	0	Z8	LU	N	0	0	0	0	0

Operator	HP. Widmer		Datum	21.08.2019	
Document Numer	WIAP MEMV 850-20A		Create/Erstellt	hp_iw_sw_jw	



WIAP MEMV® Diagramm D1 bis D5

X Achse		X1	X2	X3	X4			
X Achse oben D1 Achse vorher		3.6	4.4	6	4.5	18.5		
X Achse oben D1 Achse nachher		3.6	3.2	7.9	6.6	23.7		
Differenz oben		0	-1.2	1.9	2.1		5.2	m / s2
X Achse unten D1 Achse vorher		0	0	0	0	0		
X Achse unten D1 Achse nachher		0	0	0	0	0		
Differenz unten		0	0	0	0		0	m / s2
X Achse oben D2 Achse vorher		4.3	4.3	4.5	3.4	16.5		
X Achse oben D2 Achse nachher		5.4	3.7	3.4	4.1	20		
Differenz oben		1.1	-0.6	-1.1	0.7		3.5	m / s2
X Achse unten D2 Achse vorher		0	0	0	0	0		
X Achse unten D2 Achse nachher		0	0	0	0	0		
Differenz unten		0	0	0	0		0	m / s2
X Achse oben D3 Achse vorher		3.5	7.1	3.2	3.1	16.9		
X Achse oben D3 Achse nachher		4.1	7.3	5.5	4.4	21.3		
Differenz oben		0.6	0.2	2.3	1.3		4.4	m / s2
X Achse unten D3 Achse vorher		0	0	0	0	0		
X Achse unten D3 Achse nachher		0	0	0	0	0		
Differenz unten		0	0	0	0		0	m / s2
X Achse oben D4 Achse vorher		3.7	4.7	4.6	2.6	15.6		
X Achse oben D4 Achse nachher		6.6	5.7	5.1	5.1	15.6		
Differenz oben		2.9	1	0.5	2.5		6.9	m / s2
X Achse unten D4 Achse vorher		0	0	0	0	0		
X Achse unten D4 Achse nachher		0	0	0	0	0		
Differenz unten		0	0	0	0		0	m / s2
X Achse oben D5 Achse vorher		4.5	10.6	6.7	12.3	34.1		
X Achse oben D5 Achse nachher		3.8	12.6	7.1	14.5	39.4		
Differenz oben		-0.7	2	0.4	2.2		5.3	m / s2
X Achse unten D5 Achse vorher		0	0	0	0	0		
X Achse unten D5 Achse nachher		0	0	0	0	0		
Differenz unten		0	0	0	0		0	m / s2
Y Achse		Y1	Y2	Y3	Y4			
Y Achse links D1 Achse vorher		11.2	9.1	11.5	29	60.8		
Y Achse links D1 Achse nachher		11.3	9.4	11.7	30.8	63.2		
Differenz oben		0.1	0.3	0.2	1.8		2.4	m / s2
Y Achse rechts D1 Achse vorher		0	0	0	0	0		
Y Achse rechts D1 Achse nachher		0	0	0	0	0		
Differenz unten		0	0	0	0		0	m / s2
Y Achse links D2 Achse vorher		9.2	6.2	16.8	31	63.2		
Y Achse links D2 Achse nachher		9.4	7.6	15.4	30	67.2		
Differenz oben		0.2	1.4	-1.4	-1		4	m / s2
Y Achse rechts D2 Achse vorher		0	0	0	0	0		
Y Achse rechts D2 Achse nachher		0	0	0	0	0		
Differenz unten		0	0	0	0		0	m / s2
Y Achse links D3 Achse vorher		29.4	9.4	16.7	24	79.5		
Y Achse links D3 Achse nachher		30.6	10.1	19.4	25.1	85.2		
Differenz oben		1.2	0.7	2.7	1.1		5.7	m / s2
Y Achse rechts D3 Achse vorher		0	0	0	0	0		
Y Achse rechts D3 Achse nachher		0	0	0	0	0		
Differenz unten		0	0	0	0		0	m / s2
Y Achse links D4 Achse vorher		14.3	9.6	7.3	24.2	55.4		
Y Achse links D4 Achse nachher		14.6	8.7	8.3	23.4	58.4		
Differenz oben		0.3	-0.9	1	-0.8		3	m / s2
Y Achse rechts D4 Achse vorher		0	0	0	0	0		
Y Achse rechts D4 Achse nachher		0	0	0	0	0		
Differenz unten		0	0	0	0		0	m / s2
Y Achse links D5 Achse vorher		12.5	7.9	14.1	30.3	64.8		
Y Achse links D5 Achse nachher		11.6	9.1	14.3	33.6	70.4		
Differenz oben		-0.9	1.2	0.2	3.3		5.6	m / s2
Y Achse rechts D5 Achse vorher		0	0	0	0	0		
Y Achse rechts D5 Achse nachher		0	0	0	0	0		
Differenz unten		0	0	0	0		0	m / s2

WIAP MEMV® Diagramm D1 bis D5

Z Achse Stirnseite		Z1	Z2	Z3	Z4		
Z Achse oben links	D1 Achse vorher	12.5	0	0	0	12.5	
Z Achse oben links	D1 Achse nachher	12.8	0	0	0	12.8	
Differenz oben		0.3	0	0	0		0.3 m / s2
Z Achse oben links	D2 Achse	9.9	0	0	0	9.9	
Z Achse oben links	D2 Achse	9.6	0	0	0	10.2	
Differenz unten		-0.3	0	0	0		0.3 m / s2
Z Achse oben links	D3 Achse	4.3	0	0	0	4.3	
Z Achse oben links	D3 Achse	3.7	0	0	0	4.9	
Differenz unten		-0.6	0	0	0		0.6 m / s2
Z Achse oben links	D4 Achse	12.2	0	0	0	12.2	
Z Achse oben links	D4 Achse	15.2	0	0	0	15.2	
Differenz unten		3	0	0	0		3 m / s2
Z Achse oben links	D5 Achse	9	0	0	0	9	
Z Achse oben links	D5 Achse	9.3	0	0	0	9.3	
Differenz unten		0.3	0	0	0		0.3 m / s2

Z Achse Heckseite		Z5	Z6	Z7	Z8		
Z Achse oben links	D1 Achse vorher	12.6	0	0	0	12.6	
Z Achse oben links	D1 Achse nachher	12.6	0	0	0	12.6	
Differenz oben		0	0	0	0		0 m / s2
Z Achse oben links	D2 Achse	7.1	0	0	0	7.1	
Z Achse oben links	D2 Achse	5.7	0	0	0	8.5	
Differenz unten		-1.4	0	0	0		1.4 m / s2
Z Achse oben links	D3 Achse	3.5	0	0	0	3.5	
Z Achse oben links	D3 Achse	2	0	0	0	5	
Differenz unten		-1.5	0	0	0		1.5 m / s2
Z Achse oben links	D4 Achse	11.3	0	0	0	11.3	
Z Achse oben links	D4 Achse	8.8	0	0	0	13.8	
Differenz unten		-2.5	0	0	0		2.5 m / s2
Z Achse oben links	D5 Achse	9.3	0	0	0	9.3	
Z Achse oben links	D5 Achse	11.3	0	0	0	11.3	
Differenz unten		2	0	0	0		2 m / s2

Veränderung Total	D1 Achse	7.9	m / s2
Veränderung Total	D2 Achse	9.2	m / s2
Veränderung Total	D 3 Achse	12.2	m / s2
Veränderung Total	D 4 Achse	15.4	m / s2
Veränderung Total	D 5 Achse	13.2	m / s2
Total D1 D2 D3 D4 D5		57.9	m / s2
Total X Achs G Verschiebung (1 G=9.81 m/s2)		25.3	m / s2
Total Y Achse G Verschiebung (1 G=9.81 m/s2)		20.7	m / s2
Total Z Achse G Verschiebung (1 G=9.81 m/s2)		11.9	m / s2
Total Veränderung X/Y/Z		57.9	m / s2

Ort: Dulliken

Datum 21.08.2019

Unterschrift

Iris Widmer



Stempel:

